

키토산의 분자량에 따른 랫드에서의 적용

정덕채 · 이기창* · 윤철훈* · 김판기** · 신동환***

인천대학교 화학과

* 명지대학교 화학공학과

** 용인대학교 환경보건학과

*** 식품의약품안전청 국립독성연구소 혈액병리과

Application on Rats According to Molecular Weight of Chitosan

Duck Chae Jung, Ki Chang Lee*, Cheol Hun Yoon*,
Pan Gyi Kim** and Dong Hwan Shin***

Department of chemistry, University of InChon

* Department of Chemical Engineering, MyongJi University

** Department of Environmental Health, Yong In University

*** Division of Hematopathology, NITR, KFDA

ABSTRACT

Biodegradable films were prepared by solution blend method in the weight ratio of chitosan for the purpose of useful biomaterials. The possibility of biomaterials prepared from natural polymer as a skin substitute was evaluated by measuring biocompatibility. These films were inserted in the back of rat and their biodegradability was investigated by the film weight and hematology as a function of time for the biotransformation. The result of rat test showed that medium, high viscosity chitosan induced some suspects of incompatibility in the tissue by foreign body reaction 48 and 72 hours after implantation. Also, we prepared the official burn ointment which is made by low viscosity chitosan. This burn ointment was covered on the skin wound of artificial burn and their effect of healing was investigated by the evaluation of the naked eye and hematological change as a function of time. The result of rats test showed that burn ointments made from chitosan was effective reduction of inflammation than negative group.

Keywords : Chitosan, Biodegradation, Insertion, Skin implants, Burn ointments

I. 서 론

인구 증가와 식생활 및 의료시설의 확충에 따라 국민 보건과 관련된 의료산업은 계속적으로 발전하고 있으며 이에 따라 의료산업의 필수 소재인 생체재료의 발전은 더욱 요구되고 있다. 질환 중에 수술이나 약리적으로 치유가 불가능하고, 이식 등의 임상에 있어서 한계가 있는 인체장기를 용이하게 인공장기로 대체하려는 연구들이 최근에 널리 진행되고 있으며 약학, 의학 및 화학공학에서의 생체재료 응용은 피부과, 안과, 신경외과, 치과, 세포배양 등의 생체공학 및 서방성제제의 이용에 이르기까지 광범위하게 응용이 되고 있다. 의료목적으로 사용될 재료는 사용기간 또는 사용 후에도 인체에 독성이 없고 안전하며 생체적합성이 있어야만 한다.¹⁻³⁾ 이들 재료를 의료용으로 응용하기 위한 성

질 중에서 필수 불가결한 조건은 생체적합성, 멸균성, 기계적·물리적 성질 및 성형 가공성이 좋아야 한다는 것이다. 또한 재료가 목적달성 후 분해되어 생체 내 흡수 또는 배설되는 것이 바람직하다. 그러기 위해서는 생체재료가 혈액응고와 독성 등의 부작용을 일으키지 않는 조직 및 혈액 적합성을 지녀야 한다. 손상된 부위를 치료하기 위해 생분해성 재료를 사용하면 만성적인 항체반응이 감소하여 치료 중 발생되는 합병증이 줄어들 것이며 조직의 보호와 재생을 돋는 장점이 있다. 생체적합성 재료는 의료행위의 두 가지 요소인 진단과 치료 분야에 새로운 전기를 마련할 수 있다고 보여지며 이용할 수 있는 의료용 분야로는 봉합사(suture), 인공근육 등의 인공장기와 서방성(durability) 약품 및 인공피부 등이 있다.^{4,5)} 한편 인간은 오랜 동안 자연계의 일부 동식물로부터 생물활성 기능을 이용하여 살아왔다.

예를 들면 상처를 치료하는데 민간요법으로 키틴과 알긴이 포함된 물질을 사용한다는 것은 잘 알려져 있다. 이러한 일부 천연고분자에는 항암, 면역증강, 소염, 항균, 혈당강하 및 항응고 작용 등의 생물활성을 갖는 것도 있다.⁶⁾ 특히 키틴과 키토산은 초기의 수산폐기물의 재활용이라는 인식에서 벗어나 인공 신장과 혈관, 봉합사, 상처치유 촉진제 및 치과와 안과용 재료 등의 생체적합성재료와 의약품소재로 각광을 받고 있다.^{7,9)} 본 연구에서는 키틴유도체의 일종인 점도(영균 분자량)의 차이가 있는 키토산을 필름형태로 제조하고 이를 실험동물의 피하에 삽입하여 랫드에서의 생체적합성을 관찰하였으며 앞선 실험으로부터 우수한 적합성을 나타낸 키토산을 화상연고제로 제조하여 인위적 2도 화상을 입힌 랫드의 피부에 대한 치료전후의 육안적 관찰과 혈액학적 분석을 실시하여 천연고분자인 키토산의 랫드에서의 생체적용 가능성을 연구하였다.

II. 실험방법

1. 시약 및 기기

키토산을 이용한 생체적용 연구를 위하여 전보¹⁰⁾에서 키틴으로부터 제조한 3종(저(140 cp), 중(590 cp), 고(1380 cp)점도)의 키토산을 사용하였으며 필름과 연고제를 제조하는데 사용한 용매로서는 Milli-Q reagent water system(MILLIPORE사)을 사용하여 처리한 탈이온수와 초산(덕산화학)을 자외선으로 멀균하여 사용하였다. 또한, 화상실험에서의 2차 감염 예방을 위한 살균제로서 사용한 nitrofurazone(Sigma사)과 완화제로서 사용한 glycerin(Sigma사)은 특급시약을 그대로 사용하였다. 본 실험에서 제조한 화상연고제의 대조를 위하여 상용되는 수용성 연고베이스(삼아약품)를 사용하였는데 이들 성분 중에는 완화제로서 wax, 점활제로서 glycerin, 계면활성제 및 방부제 등이 적량 함유되어 있었다. 키토산필름의 랫드에 대한 피하 삽입전후와 화상전후 혈액학적 분석은 H1 system 자동혈구계산기(Technicon)를 사용하였다.

2. 동물 실험조건

본 실험은 천연고분자인 키토산의 생체적합성 재료로서 가능성을 확인하고자 랫드에 대한 생체내 실험을 실시하였으며 다음과 같은 방법으로 사육과 군분리를 시행하였다. 동물은 (주)대한실험동물센터로부터 4주령, 체중 100~150 g의 특정 병원체 부재(SPF) 숫컷 SD계 랫드를 분양받아서 온도 23±3°C, 습도 50±5%, 배기 10~15회/hr, 형광등 명암 12 hr cycle, 조도 150~

300 Lux의 환경조건에서 폴리카보네이트 상자(280 W×400 L×1700 H, mm)에 넣어 실험하였으며 사용한 깔짚은 폴프를 사용하였다. 음용수 섭취는 수도수를 자유로이 공급하였으며 또한 순화기간 동안 일반증상 관찰 등을 시행하여 정상적인 동물을 선별하였다.^{11,12)} 랫드의 군분리는 대조군과 키토산실험군으로 구분하였으며 필름삽입 실험은 Table 1에 나타내었고, 화상연고제 실험군은 Table 2에 나타내었다. 화상실험의 대조군으로는 자연치유에 의한 관찰을 위하여 자연치유군(이하 negative군)과 기존 수용성연고베이스(이하 positive군) 등의 두 군을 설정하였다.

3. Chitosan Film의 제조 및 랫드에 대한 적용

키토산은 탈이온수에만 용해되지 않으므로 1.0% 초산수용액을 이용하여 용해시켰다. 이때 점성을 나타내므로 기계식 교반기를 사용하여 일정시간 동안 균일하게 분산, 용해되도록 하였다. 예로서 고점도키토산 2.0 g을 취하여 1.0% 초산수용액 50 mL에 완전 용해시켰으며 기포생성을 방지하기 위하여 가끔씩 초음파기(Branson1200, 50 Hz)로 초음파반응을 시켰다. 이와 같이 얻은 pre-gel형을 필름으로 제조하기 위하여 원통형 유리관 내에 일정 높이로 쟁가 한 후 30°C에서 검압건조하여 필름을 제조하여 이를 다시 에탄올에 침지시키고 재건조하여 사용할 때까지 데시케이터에 보관하였다. 두께 0.2 mm로 제조된 필름을 가로, 세로 각각 5.0 mm로 절단하고, 소독을 위하여 하루동안 무균 상자에 보관하였으며 수술도구는 모두 고압증기 멸균 처

Table 1. Grouping of rats for skin bioimplant experiments

Grouping	Insertion Time(hour)	No. of Rat
Control	24	7
	48	7
Chitosan low (140cp)	48	7
	72	7
Chitosan medium (590cp)	48	7
	72	7
Chitosan high (1380cp)	48	7
	72	7
Total		56

Table 2. Grouping of rats for artificial burn experiments

Material	6 days	12 days
Chitosan	8	6
Positive	3	3
Negative	3	3
Total	14	12

리하였다. 랫드의 등쪽 피부에 가로, 세로 2.0 cm 가량의 털을 제거하고 70% 에틸알코올 정제수로 소독한 후 랫드를 pentobarbital-Na로 마취하고 멀균된 수술용 칼로 표피를 절개하였다. 각 실험군에 필름을 피하조직에 삽입하고 멀균된 autoclip으로 봉합하였으며 매일 70% 에틸알코올로 소독하여 주었다. 48시간 및 72시간 후 혈액학적 변화를 관찰하기 위하여 혈액을 채취한 다음 필름을 회수하여 멀균된 접시에 옮겨 가능한 한 혈액을 제거하고 건조시킨 후 건조중량을 측정하였다.

4. 연고제의 제조 및 인위적 화상방법

제조한 키토산 화상연고제의 비교, 대조실험을 위하여 nitrofurazone^[13]을 상용연고제의 성분함량^[14]에 따라서 각각의 연고제에 1g당 3.5 mg씩 동량 첨가하였으며 완화제인 glycerin도 본 실험군에 대조한 기준 수용성 연고베이스의 양과 같이 동량 첨가하여 제조하였다. 예로서 저점도키토산 20.0 g에 멀균한 1.0%초산수용액 200 mL를 넣고 여기에 0.7 g의 nitrofurazone과 3.84 mg의 glycerin을 첨가한 후 기계식 교반기를 이용하여 완전 분산시켜서 연고제 형태로 제조하였다. 한편 랫드를 위의 방법으로 제모하고 소독한 후에 인위적 화상을 유발하기 위하여 실리콘오일을 유리로 제작된 기름증탕기에 넣고 160°C까지 가열시키고 기름증탕기의 유리벽면에 제모한 랫드의 등부위를 밀착시켜서 수포가 발생한 2도 화상을 유발하였다. 다음으로 제조한 화상연고제를 화상부위에 도포하고 멀균 가아제로 감아주었으며 이후 매일 1회씩 일정시간에 같은 방법으로 처치하였다.

5. 관찰 및 검사항목

1) 관찰 및 체중측정

실험동물인 랫드에 대하여 매일 일정시간에 임상적 증상, 화상부위 및 사망 유무를 관찰하였으며 랫드의 체중은 실험시작과 부검직전에 측정하였다.

2) 혈액학적 검사

실험동물인 랫드를 부검일 오전부터 절식시킨 후 경추탈구법으로 희생한 다음 심장에서 혈액을 채혈하였다. EDTA-Na로 항응고 처리하여 백혈구수(WBC), 적혈구수(RBC), 혈색소량(HGB), 적혈구용적(HCT), 평균적혈구용적(MCV), 평균적혈구혈색소량(MCH), 평균적혈구혈색소농도(MCHC)를 측정하였고, 필름의 삽입실험 후의 백혈구에 대한 감별검사로서 혈소판수(PLT), 림프구(lymphocyte), 호중구(neutrophil), 단핵구(monocyte), 호신구(eosinophil), 호염기구(basophil) 등을 측정하였다.

III. 결과 및 고찰

1. 키토산필름의 중량변화와 혈액학적 변화

의료용 재료로 고분자를 사용할 경우 장애가 되는 것은 생체가 자기방어를 위하여 일으키는 이물반응이다. 장기간 체내에 삽입된 경우에는 비분해성 고분자가 이 물질로서 체내에 진존하므로 커다란 생리학적인 문제를 일으킨다. 이와 같은 생체 이물반응을 피하기 위해서는 삽입된 고분자재료가 목적달성을 후 분해되어 생체 내 흡수되는 것이 바람직하다.^[15] Table 3에 나타낸 것과 같이 키토산필름 실험군은 생체내 분해작용에 의하여 시간에 따라 분해되는 양상을 나타내었으며 Table 4에서 랫드의 실험시작과 종료 체중변화에서는 일부 실험군에서는 체중이 감소하는 결과를 보였으나 비교적 대조군과 유사한 체중변화를 나타내었다.

제조한 필름을 삽입한 실험군의 혈액학적 소견을 Table 5와 6에 나타내었다.

Table 5의 랫드에서 정상범위 백혈구를 6.6~12.6×10³/μL로 본다면,^[16,17] 저점도 및 중점도키토산 실험군의 백혈구는 48시간 후와 72시간 후에는 정상범위였으나 고점도키토산의 백혈구는 72시간 후에 정상범위보다 증가하였고 대조군에 비하여 유의한 증가를 보였다 ($p<0.05$). 저점도키토산 48시간 후의 백혈구 분포는 단핵구가 증가하여 72시간 후까지 지속되었다. 중점도키

Table 3. Dry weight changes of chitosan films during experimental periods

Materials	Time			
	Start	Final	Start	Final
Chitosan low (140cp)	9.2±2.8*	7.4±1.6	9.8±2.2	5.7±2.5
Chitosan med (590cp)	12.6±6.4	12.4±7.5	11.7±4.4	10.4±3.1
Chitosan high (1380cp)	7.4±3.1	6.7±2.1	14.8±5.1	8.9±3.6

Unit : mg of film.

*The values expressed as a mean±SD(n=7).

Table 4. Body weight changes during experimental periods

Materials	Time			
	Beginning	Final	Beginning	Final
Chitosan low	251±20.3	252±23.8	252±22.0	248±22.2
Chitosan med.	228±17.3	224±18.1	223±17.6	225±21.4
Chitosan high	248±21.4	254±23.6	246±20.5	253±22.6

Unit : g for rat.

*The values expressed as a mean±SD(n=7).

Table 5. Effects of chitosan films inserted into the rat for measurements of hematological components

Time	Group	WBC [$\times 10^3/\mu\text{l}$]	RBC [$\times 10^6/\mu\text{l}$]	HGB [g/dl]	HCT [%]	MCV [fL]	MCH [pg]	MCHC [g/dl]	PLT [$\times 10^3/\mu\text{l}$]
	normal range	6.6~12.6	6.7~9.75	13.4~15.8	44.4~50.4	49.8~69.8	14.3~22.0	26.2~35.4	150~450
after 48 hrs	Chitosan low	6.9±3.24	8.04±1.91	17.5±3.8	49.0±6.3	61.0±11.4	18.6±5.6	30.4±5.7	649±147*
	Chitosan med.	6.7±3.21	8.71±2.04	17.8±4.1	61.0±7.7	70.0±13.7	20.4±6.2	29.2±6.8	750±139*
	Chitosan high	8.0±4.25	8.66±1.87	18.1±4.7	63.0±6.9	72.7±14.6	20.8±5.7	28.6±5.5	779±153*
	controls	6.99±2.32	7.33±2.35	15.3±3.4	49.7±8.5	67.8±12.4	20.9±6.3	30.8±5.7	415±112
after 72 hrs	Chitosan low	9.0±4.45	7.86±2.10	16.2±4.2	55.0±9	70.0±9.2	20.6±4.6	29.4±4.3	959±121*
	Chitosan med.	9.8±3.76	7.56±2.23	15.8±3.1	50.1±11	68.5±11.2	19.5±4.4	30.4±4.3	889±124*
	Chitosan high	16.0±2.87*	7.64±2.54	14.8±3.4	49.1±8	64.2±7.8	19.4±3.8	30.1±3.6	852±135*

The values expressed as a mean±SD (n=7).

*Statistically different from control group (p<0.05).

Table 6. Effects of chitosan films inserted into the rats for measurements of WBC components

Time	Group	Neutrophil % [$\times 10^3/\mu\text{l}$]	Lymphocyte % [$\times 10^3/\mu\text{l}$]	Monocyte % [$\times 10^3/\mu\text{l}$]	Eosinophil % [$\times 10^3/\mu\text{l}$]	Basophil % [$\times 10^3/\mu\text{l}$]					
	normal range	9~25	1.10~4.0	55.6~83.26	30~10.90	0~5.0	0.1~0.4	0~0.6	0.03~0.06	0~1.0	0.1~0.15
after 48 hrs	Chitosan low	16±1.2	1.2±0.3	68±15	4.9±1.2	7.3±2.4	0.5±0.03	0.7±0.05*	0.05±0.02	0.4±0.02	0.03±0.02
	Chitosan med.	4.2±2.4*	0.3±0.2*	81±15	6.2±1.7	1.8±0.3*	0.1±0.10*	0.2±0.01*	0.01±0.01*	0.3±0.01	0.02±0.01
	Chitosan high	24±6.3	1.9±0.6	65±21	5.5±1.2	5.5±1.1	0.5±0.02	0.4±0.01	0.03±0.01	0.9±0.02*	0.05±0.01*
after 72 hrs	control	21±0.5	1.5±0.3	67±12	4.6±0.5	5.5±1.6	0.4±0.11	0.5±0.05	0.04±0.01	0.3±0.01	0.03±0.01
	Chitosan low	12±0.8*	1.1±0.3	71±11	8.4±1.4*	6.4±1.6	0.9±0.05*	0.6±0.03	0.07±0.01*	0.4±0.01	0.05±0.02*
	Chitosan med.	24±1.9	1.6±0.8	61±18	6.0±1.6	5.3±1.6	0.6±0.04	0.5±0.02	0.05±0.01	0.8±0.03*	0.05±0.02*
	Chitosan high	21±3.2	4.4±1.1*	60±13	11±2.1*	1.7±0.5*	0.3±0.02	1.0±0.03*	0.19±0.02*	0.6±0.01*	0.11±0.02*

The values expressed as mean ± SD(n=7).

* Statistically different from control group (p<0.05).

토산에서는 48시간 후 백혈구 분포는 호중구가 급격히 감소하였으나 72시간 후에는 정상범위로 회복되었다. 고점도 키토산은 48시간 후에는 정상범위였으나 72시간 후에는 백혈구 분포에서 차지하는 비중이 큰 호중구와 림프구가 증가하였다. 혈소판수(PLT)는 $150\sim450\times10^3/\mu\text{l}$ 을 정상범위($16\sim17$)로 보았을 때, 대조군을 포함한 각 실험군에서 모두 증가하였다. 단핵구는 정상범위를 $0.0\sim5.0\%$, $0.1\sim0.4\times10^3/\mu\text{l}$ 로 보고¹⁸하고 있으나, 본 실험의 결과는 모든 실험군에서 정상범위를 훨씬 상회하여 통계학적으로 유의한 증가를 나타냈다 ($p<0.05$). 또한, 호산구는 정상범위를 $0.0\sim0.6\%$, $0.03\sim0.06\times10^3/\mu\text{l}$ 로, 호염기구는 $0.0\sim1.0\%$, $0.1\sim0.15\times10^3/\mu\text{l}$ 로 보고¹⁸하고 있으나, 본 실험에서는 모든 실험군에서 정상범위보다 높은 결과를 나타내었다.

제조한 키토산필름의 중량 변화와 혈액학적 결과에서 확인하였듯이 재료의 생체적합성은 여러 생체내 인자들에 의한 복합적인 결과임을 확인할 수 있었으며 분

해실험 결과 저점도 키토산이 비교적 우수한 분해속도와 혈액학적 결과를 보여주는 랫드에서의 적합성을 나타내었다.

2. 키토산 화상연고제에 의한 혈액학적 변화

앞선 실험을 통하여 비교적 우수한 생체적합성을 나타내었던 저점도 키토산을 이용하여 기존 수용성 연고베이스와 유사한 키토산 연고베이스를 제조하고 랫드의 피부에서 6일과 12일 후의 육안적 관찰 및 혈액학적 검사를 실시하였다. 랫드의 실험 시작과 종료 체중 변화는 Table 7에서와 같이 모든 실험군에서 유사한 체중변화를 나타내었다. 육안적 관찰로서 실험기간 중에 사망한 랫드는 없었으며 대조군을 포함한 모든 실험군에서 화상실험 일주일 후부터 랫드의 화상부위에 가피(crust)가 형성되기 시작하였다.

인위적 화상전후 랫드의 혈액학적 결과를 Table 8에 나타내었다. 백혈구는 실험 6일 후에 백혈구가 키토산

Table 7. Body weight changes during burn experimental periods

Materials	Time	start		1st		2nd	
		treatment 6days	treatment 12days	treatment 6days	treatment 12days	treatment 12days	
Chitosan		170.5 ± 18.9*	156 ± 13.5	210.3 ± 28.01	191.3 ± 22.1	220.17 ± 20.2	
Positive		161.7 ± 13.5	161.6 ± 18.2	190 ± 46.4	196 ± 34.5	222.67 ± 34.5	
Negative		163.7 ± 8.0	141.3 ± 26.1	199.67 ± 13.1	170.67 ± 41.3	196 ± 47.8	

Unit : g for rat.

*The values expressed as a mean ± SD (n=3~8).

Table 8. Hematological values of the rats during burn experimental periods

Time	Group	WBC[$\times 10^3/\mu\text{L}$]	RBC[$\times 10^6/\mu\text{L}$]	HGB[g/dL]	HCT[%]	PLT[$\times 10^3/\mu\text{L}$]
treatment 6days	Standard	6.6~12.6	6.7~9.75	13.4~15.8	44.4~50.4	150~450
	Chitosan	6.41 ± 1.3*	7.09 ± 0.2	7.85 ± 0.2	53.1 ± 0.9	645 ± 173*
	Positive	4.68 ± 2.3	6.83 ± 0.1	7.45 ± 0.3	50.15 ± 2.3	921 ± 172
	Negative	3.07 ± 0.5	7.07 ± 0.6	7.93 ± 0.5	50.77 ± 2.6	883 ± 70
	Chitosan	16.42 ± 6.2	6.10 ± 0.9	13.12 ± 1.9	43.92 ± 5.8	378 ± 96
	Positive	16.93 ± 5.5	5.75 ± 0.2	13.07 ± 0.8	44.4 ± 3.1	439 ± 209
	Negative	20.1 ± 21.0	5.87 ± 0.6	13.33 ± 1.8	41.07 ± 2.5	413 ± 67

The values expressed as a mean ± SD (n=3~8).

*: Statistically different from control group (p<0.05).

적용군을 제외한 positive, negative군에서 정상범위보다 감소하였으며, 키토산적용군과의 차이는 통계학적으로 유의하였다(p<0.05). 12일에는 역시 키토산 적용군만이 정상범위내에 있었으나, 나머지 positive, negative군은 정상범위보다 높은 수준이었다. 그러나, 이들 군간의 차이는 통계적으로 인정되지 않았다. 적혈구수는 모든 실험군에서 6일째는 정상범위를 보였으나, 12일째는 낮은 수준을 나타내었다. 혈색소함량은 6일에는 모든 시험군에서 정상범위에 비하여 낮은 수준이었으나, 12일에는 정상범위에 포함되었다. 혈소판수는 6일째에 positive, negative군이 키토산적용군에 비하여 높았으며 (p<0.05), 이러한 높은 수치는 정상범위를 벗어난 정도였다. 그러나, 12일에는 각 시험군에서 정상범위내에 존재하였으며, 통계학적인 차이도 나타나지 않았다. 혈구용적은 각 시험군에서 정상 범위내에 존재하며, 변화의 차이가 인정되지 않았다.

Fig. 1(a)는 positive군의 12일 후 조직인데 상피층이 파사되어 있고 진피의 일부 모낭에 아직도 칼슘이 침착되어 있었으며 주변부와 하부 균육층에 다수의 대식구 및 소수의 단핵구 등이 미만성(diffuse)으로 침윤되어 있었다. 그러나 Fig. 1(b)의 저점도 키토산군 처치 12일 후의 조직에서는 상피층에 가파(crust)가 형성되어 있으며 손상되어 있던 진피의 모낭 주변에 광범위하게 섬유아세포(fibroblast)가 증식하고 있었으나 아

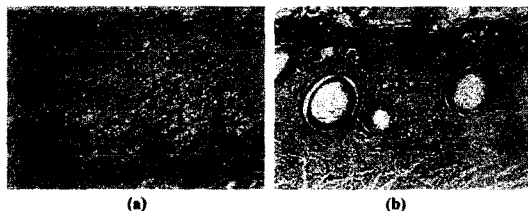


Fig. 1. Histological appearance of burned 12days after treatment positive(a) and low chitosan(b), cross sectional view of skin tissues from rats (hematoxylin and eosin stain, original magnification $\times 100$).

직도 소수의 대식구와 단핵구 같은 염증세포는 침윤되어 있었다.

IV. 결 론

점도(평균 분자량)의 차이가 있는 키토산을 필름형태로 제조하여 실험동물인 랫드의 피하에 삽입하여 랫드에서의 적합성을 관찰하였으며 또한 우수한 적합성을 나타낸 키토산을 화상연고제로 제조하여 인위적 2도 화상을 입힌 랫드의 피부에 대한 치료전후의 육안적 관찰과 혈액학적 분석을 실시하여 천연고분자인 키토산의 생체적용 가능성을 연구하였다. 제조한 키토산필름의 중량 변화와 혈액학적 결과에서 확인하였듯이 재료

의 생체적합성은 여러 생체내 인자들에 의한 복합적인 결과임을 확인할 수 있었으며 실험 결과 저점도 키토산이 비교적 우수한 분해속도와 혈액학적 결과를 보여주는 생체 적합성을 나타내었다. 화상실험으로 기존 수용성연고베이스와 유사한 키토산연고베이스를 제조하고 대조군으로는 자연치유군(negative군)과 기존 수용성연고베이스(positive군) 등의 두 군을 설정하여 랫드의 화상 피부에서 6일과 12일 후의 육안적 관찰 및 혈액학적 검사를 실시하였다. 육안적 관찰로서 실험기간 중에 사망한 랫드는 없었으며 대조군을 포함한 모든 실험군에서 화상실험 일주일 후부터 랫드의 화상부위에 가피(crust)가 형성되기 시작하였다. 랫드의 혈액학적 결과 중 백혈구는 실험 6일 후에는 백혈구가 감소하였으나 12일 후에는 대부분의 실험군에서 백혈구가 증가하여 염증발현의 가능성을 나타내었다. 특히, 자연치유군으로 설정한 negative군에서는 높은 백혈구 수치를 나타내었다.

참고문헌

- 1) Ishihara K., Endo Y., Ueda T.: Hemocompatibility of human whole blood on polymers with a phospholipid polar group and its mechanism, *J. of Biomed. Mater. Res.*, **26**, 1543, 1992.
- 2) Kronenthal R. L., Oser Z.: "Polymers in Medicine and Surgery", Plenum Press, New York, **14**, 1975.
- 3) Williams D. F.: "Biocompatibility of Clinical Implant Materials", vol. II, CRC Press, Bocaraton, Florida, **249**, 1981.
- 4) Sharma C. P., Szycher M.: "Blood compatible Materials and Devices", Perspective Toward the 21st. Century, Technomic Publishing Co. Inc., Lancaster, **156**, 1992.
- 5) Heller J., Baker R. W.: "Theory and Practice of controlled drug delivery from Bioerodible polymer", In Controlled Release of Bioactive Materials, Academic Press, New York, **1**, 1980.
- 6) Buckingham J.: "Dictionary of Natural Products", Chapman & Hill, **1**, London, **21**, 1994.
- 7) Maeda M., Inoue Y., Kifune K.: Biomedical properties and applications of chitin and its derivatives, "In Enciclopedic handbook of biomedical and bioengineering", Marcel Dekker Inc., New York, **1585**, 1995.
- 8) Pangburn S. H., Heller J.: Partially deacetylated chitins use in self-regulated DDS, "In chitin and chitosan and related enzymes", Academic Press, New York, **3**, 1984.
- 9) Kifune K.: Clinical applications of chitin in artificial organ, "In Advances chitin and chitosan", Elsevier Applied Sciences, New York, **9**, 1992.
- 10) 이기창, 황성규, 정덕채 : 키토산의 분자량에 따른 PVA/chitosan 블랜드 필름의 제조와 토양분해 실험, 한국환경위생학회, **24**(3), 48, 1998.
- 11) 이영순 : 사육관리와 기술, 실험동물학, 서울대출판부, 서울, **298**, 1983.
- 12) 白須泰彥, 吐山豊秋: 新毒性試験法, -方法과 評價-, Realize Inc, Tokyo, **12**, 1988.
- 13) 유기의약품 편집위원회 : 외용실균방부제, 유기의약품화학, 동명사, 서울, **589**, 1994.
- 14) Cocabo S. C., Bromilow D. B.: "Topical Antiinfectives", KIMS, MIMS Korea, **8**(3), 281, 1994.
- 15) Yoo Y. T.: Biodegradable Polymers for Medical Applications-Synthesis and Degradation, Polym. Sci. Tech., **2**(5), 566, 1994.
- 16) Mitruka B. M., Rawnsley H. M.: "Clinical Biochemical and Hematological Reference Values in Normal Experimental Animals and Normal Humans", 2nd Ed., MASSON Publishing, New York, **58**, 1981.
- 17) Baker, H. J., Lindsey, J. R. and Weisbroth, S. H.: "The Laboratory Rat", Academic press, New York, **21**, 1979.
- 18) Jain, N. C.: "The Neutrophils, Schalm's Veterinary Hematology", 4th Ed., Lea & Febiger, Philadelphia, **676**, 1986.